

بررسی کارآمدی فرایند اکسایش پیشرفته فردفتون در حذف بار آلی از فاضلاب شور صنایع چرم‌سازی

گاگیک بدالیانس قلی کندی^{۱*}، سیدعلی سادات‌حسینی^۲، فرزانه افسری^۳

۱. دانشیار، دانشکده مهندسی عمران، آب و محیط‌زیست، دانشگاه شهید بهشتی، پردیس فنی- مهندسی شهید عباسپور
۲. دانشجوی کارشناسی ارشد مهندسی آب و فاضلاب، دانشکده مهندسی عمران، آب و محیط‌زیست، دانشگاه شهید بهشتی، پردیس فنی- مهندسی شهید عباسپور
۳. کارشناس ارشد مهندسی محیط‌زیست، دانشگاه تهران

تاریخ پذیرش مقاله: ۱۳۹۵/۳/۲۷

تاریخ وصول مقاله: ۱۳۹۵/۷/۲۹

چکیده

تجربه موفق به کارگیری روش اکسایش پیشرفته فردفتون در تصفیه فاضلاب شهری و لجن مازاد بیولوژیکی در چند سال اخیر، بستر مناسبی را برای مطالعات دیگر از جمله بررسی کارآمدی این فناوری در تصفیه فاضلاب‌های صنعتی فراهم کرد. هدف اصلی این تحقیق بررسی کارآمدی فرایند فردفتون در خصوص حذف بار آلی بر حسب COD از فاضلاب شور صنایع چرم‌سازی بود. در کنار میزان حذف یون کلر نیز اندازه‌گیری و بررسی شد. این مطالعه موردی با استفاده از پایلوت منقطع آزمایشگاهی به حجم ۱ لیتر، مجهز به دستگاه همسوکننده جریان برق و چهار الکترود گرافیت انجام پذیرفت. بر اساس نتایج بررسی‌های انجام‌شده، راکتور آزمایشگاهی فردفتون تحت شرایط بهینه $\text{pH}=3$ ، $[\text{Fe}^{2+}]/[\text{H}_2\text{O}_2]=0.06$ ، غلظت پراکسید هیدروژن 2260 میلی‌گرم بر لیتر، جریان 0.08 آمیز و مدت زمان 120 دقیقه بررسی شد. نتایج حاصل نشان داد که کارآمدی حذف COD و یون کلر به ترتیب برای با 61% و 40% درصد است. بر مبنای نتایج حاصل و مشاهدات انجام‌شده می‌توان گفت که گرچه از سویی بخش قابل توجهی از یون کلر به عنوان عامل شوری حذف می‌شود، ولی غلظت بالای یون کلر موجود عامل محدودکننده کارآمدی این راکتور در خصوص حذف COD است.

کلیدواژه

تصفیه فاضلاب شور چرم‌سازی، حذف یون کلر، فرایند فردفتون، کارآمدی حذف COD.

۱. سرآغاز

مهم و محدودکننده استحصال منابع مذکور، افزایش یافته است. در این راستا، دستیابی به فناوری‌های کارآمد تصفیه فاضلاب‌های صنعتی مورد توجه بسیاری از محققان و دست‌اندرکاران امور صنعتی و محیط‌زیستی شده است (Mandal et al., 2010a-b; Lofrano et al., 2013) در بسیاری از کشورهای در حال توسعه، صنعت چرم‌سازی یکی از صنایع مهم فعال به شمار می‌رود. اغلب

نظر به اینکه دسترسی به آب سالم و بهداشتی از یکسو و آب مصرفی قابل استفاده در کشاورزی و صنایع از سوی دیگر در تأمین نیازهای متنوع جوامع بشری در دهه‌های آینده همچنان چالش مهمی محسوب می‌شود (Mandal et al., 2010b)، نگرانی در مورد حضور مواد آلاینده‌های آلی و مواد غیرقابل تجزیه زیستی در منابع آب، به منزله عامل

پیشرفت (AOP) برای حذف بار مواد آلاینده آلی (COD) Bianco et al., 2011; Mandal et al., 2011; Lopez, 2004 بررسی شده است (Ugur et al., 2007; Mandal et al., 2010b). فرایندهای اکسایشی پیشرفت، رادیکال‌های هیدروکسیل تولید می‌کند که در بین آن‌ها HO^{\bullet} توانایی بالقوه و بسیار بالایی در اکسایش مواد آلی دارد، به‌طوری که پس از فلوراید قوی‌ترین اکسیدکننده محسوب می‌شود (Brillas et al., 2009; Liao et al., 2001). همچنین، این رادیکال به‌دلیل بازده اکسایشی بالا و واکنش‌پذیری غیرگزینشی، بسیار مورد توجه است، به‌طوری که توانایی گرفتن الکترون از تمامی ترکیبات آلی را داراست (Bidleans و همکاران، ۱۳۹۳) از پرکاربردترین فرایندهای اکسایشی پیشرفت، می‌توان به فرایند فتون اشاره کرد که در تجزیه رنگ‌ها، همچنین طیف وسیعی از آلاینده‌های خط‌رنگ آلی و فلزات سنگین استفاده شده است. راهبری فرایند فتون ساده است و نیاز به سرمایه‌گذاری کمی دارد و در دماهای پایین و Rivas et al., 2003; Wang & Lemley, 2001; Sedlak & Andren, 1991 فشار اتمسفر انجام‌پذیر است (Rivas et al., 2003; Wang & Lemley, 2001; Sedlak & Andren, 1991) فرایند فرایندی کاتالیستی است که در آن رادیکال‌های هیدروکسیل HO^{\bullet} با استفاده از آهن دوبار مثبت Fe^{2+} و هیدروژن پراکسید H_2O_2 تولید می‌شود. واکنش اصلی Badalians et al., 2014; Brillas et al., 2009; Rivas et al., 2003; Wang & (Lemley, 2001; Sedlak & Andren, 1991)

$$\text{Fe}^{2+} + \text{H}_2\text{O}_2 \rightarrow \text{Fe}^{3+} + \text{OH}^- + \text{HO}^{\bullet} \quad (1)$$

نتایج آزمایش‌های متعدد محققان مختلف نشان داد که کارآمدی فرایند فتون در مدت زمان ماند کم بسیار محدود است (Nidheesh & Gandhimathi, 2012; Zhang et al., 2006)، در عین حال افزایش مدت زمان ماند به افزایش مصرف بیشتر مواد شیمیایی به‌خصوص آهن می‌انجامد (Bidleans و همکاران, ۱۳۹۳). همچنین، در فرایند فتون نرخ مصرف Fe^{2+} بیش از میزان تولید آن در سامانه است (Badalians et al., 2014; Babuponnusami & Muthukumar, 2012) از سوی دیگر، اگرچه در مقایسه

چرم‌های تولیدی از پوست خام گاو و گوسفند تهیه می‌شود که طی یک سری فرایندهای شیمیایی و فیزیکی، از محصولی تجزیه‌پذیر به محصولی فاسدنشدنی و غیرقابل تغییر تبدیل می‌شود (Chowdhury et al., 2013; Mandal et al., 2010a; Lofrano et al., 2013) چرم‌سازی به‌دلیل مقادیر زیاد آب مصرفی، باعث ایجاد حجم بسیار زیادی پساب شور می‌شود. پساب مذکور حاوی غلظت بسیار بالای مواد آلی و مواد شیمیایی متنوعی است، همچون آهک، سولفید سدیم، سولفات آمونیوم، کلرید سدیم، ضدغوفونیکننده‌ها، تانن‌های گیاهی، نمک‌های Chowdhury et al., 2013; Mandal et al., 2010a; Lofrano et al., 2013 منظور از فاضلاب‌های شور صنعتی، فاضلاب‌های صنایعی همچون چرم‌سازی، پتروشیمی، روغن‌سازی و پالایشگاه‌های نفت است که میزان املاح (ترکیبات نمکی) موجود در آن بیش از ۱۰ گرم بر لیتر است (Zhang et al., 2013; Moussavi et al., 2010; Lefebvre & Moletta, 2006). نظر به مشخصات کیفی مذکور، غالب سامانه‌های متعارف تصفیه فاضلاب کارآمدی لازم را ندارد و جستجوی راهکارهای نوین و دارای کارآمدی مورد نیاز Fahim et al., 2012; Mandal et al., 2010a; Lofrano et al., 2013; Ugur et al., 2007; (Lefebvre & Moletta, 2006) می‌توان به روش جذب سطحی، ترسیب، اسمزمعکوس، تبادل یونی، تجزیه بیولوژیکی، ترسیب الکتروشیمیایی و حلال الکتروکوآگولانت، جداسازهای غشایی، فیلترکردن و لخته‌سازی، فرایندهای هوایی و پودر کردن فعال اشاره کرد (Zhang et al., 2013; Fahim et al., 2012; Mandal et al., 2010; Lofrano et al., 2013; Samarghandi, 2008; al., 2010; Ugur et al., 2007; Golder, et al., 2007; Chen & Gu, 2005) با این حال، کارآمدی این فرایندها به‌طور کامل رضایت‌بخش نیست و ارائه فناوری‌های نوین جایگزین مؤثر در حذف مواد آلاینده آلی امری ضروری و اجتناب‌ناپذیر است (Jinwook et al., 2013).

در سال‌های اخیر فرایندهای مختلفی از اکسایش

شوری فاضلاب چرم‌سازی. انتخاب پارامترهای مذکور با توجه به تأثیر آن‌ها بر میزان مصرف مواد شیمیایی و راهبری بهینه سامانه مورد نظر انجام گرفت.

۲. مواد و روش‌ها

۱.۲ خصوصیات پساب

این مطالعه تجربی در زمستان ۱۳۹۴ و بهار ۱۳۹۵ با هدف حذف کارامد COD و یون کلر از فاضلاب شور چرم‌سازی با استفاده از فرایند فردفتون در مقیاس آزمایشگاهی انجام شد. نمونه‌های فاضلاب چرم‌سازی مورد بررسی از محل ورودی تصفیه‌خانه چرم‌شهر ورامین برداشت شد. مشخصات فاضلاب مزبور در جدول ۱ ارائه شده است.

جدول ۱. مشخصات فاضلاب چرم‌سازی مورد بررسی*

ردیف	پارامتر	واحد	مقدار
۱	pH	-	۸
۲	COD	mg/Lit	۱۵۰۰
۳	TDS	mg/Lit	۱۵۰۰۰
۴	TSS	mg/Lit	۴۲۵۰
۵	EC	µS/cm	۱۷۷۸۰
۵	Cl ⁻	mg/Lit	۳۰۰۰
۶	Cr	mg/Lit	۷۲

* اعداد جدول میانگین نمونه‌های گرفته شده طی تحقیق را نشان می‌دهد و کیفیت پساب ورودی تصفیه‌خانه چرم‌شهر ورامین با توجه به تغییرات و شرایط و کیفیت بهره‌برداری متغیر است (نگارندگان، ۱۳۹۵).

۲.۲ مشخصات پایلوت و شرایط بهره‌برداری پایلوت مورد نظر شامل سلولی الکتریکی از جنس پلکسی‌گلاس به حجم ۱۰۰۰ میلی‌لیتر و مجهز به چهار الکترود از جنس گرافیت و دستگاه همسوکننده جریان جهت تبدیل جریان برق شهری به جریان برق مستقیم است (شکل ۱). الکترودها با ابعاد ۱۴۰*۶۰*۱ میلی‌متر با فاصله ۱/۵ سانتی‌متر از هم و دو الکترود آند و دو الکترود کاتد یک در میان، به صورت شناور با آرایش تک‌قطبی

با روش‌های بیولوژیکی، روش الکتروشیمیایی قابلیت نسبتاً کمتری در حذف مواد از طریق فرایند انعقاد الکتریکی دارد، ترکیبات آلی مقاوم و مواد سمی را تا حدود صد برابر Butler et al., 2011; Martinez-Huitle & Brillas, 2009; Moreno-Casillas et al., 2007; با سرعت بیشتری تجزیه می‌کند (Fenten et al., 2006). در نتیجه، به کارگیری ترکیبی دو روش فتنون و الکتروشیمیایی علاوه‌بر افزایش کارامدی فرایند به طور هم‌زمان کاهش مدت زمان ماند و تولید کمتر لجن را نیز ممکن می‌سازد (بدیلیانس و همکاران، ۱۳۹۳). فرایندهای الکتروشیمیایی فتنون از جمله روش‌های اکسایشی پیشرفته الکتروشیمیایی (EAOPs) است که از آن برای حذف مواد آلینده‌آلی موجود در فاضلاب و فلزات سنگین از طریق ترکیب روش‌های الکتروشیمیایی و واکنش فتنون استفاده Brillias et al., 2009; Atmaca, 2009; Zhang et al., 2006). از مهم‌ترین وظایف فرایندهای الکتروشیمیایی فتنون استمرار واکنش (۲) است (Badalians et al., 2014):

$$\text{Fe}^{3+} + \text{e}^- \rightarrow \text{Fe}^{2+} \quad (2)$$

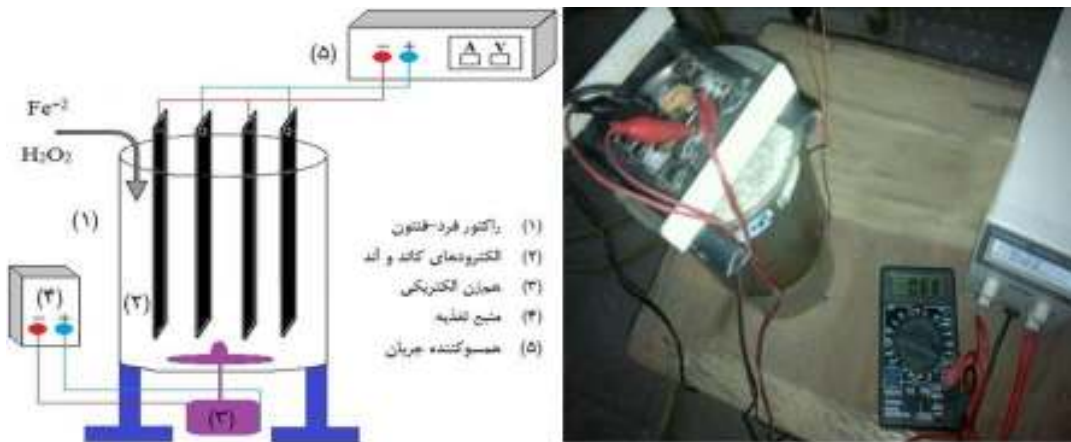
فرایند فردفتون از جمله فرایندهای الکتروشیمیایی فتنون است که از ترکیب واکنشگرهای واکنش فتنون، Fe^{2+} و $\text{O}_2\text{H}_2\text{O}$ ، همراه با فرایند الکتروشیمیایی ایجاد می‌شود (بدیلیانس و نیلی، ۱۳۹۴؛ بدیلیانس و همکاران، ۱۳۹۳). از این فرایند تا کنون برای حذف COD از شیرابه محل دفن زباله‌ها، همچنین حذف فلزات سنگینی چون نیکل و ترکیبات دارویی استفاده شده است (Ye et al., 2016; Wei et al., 2014; Wu et al., 2014; Zhang et al., 2012; Brillias et al., 2009).

هدف از این تحقیق بررسی کارامدی فرایند فردفتون در حذف COD، در حضور غلظت بالای عامل شوری، یعنی یون کلر، از فاضلاب شور چرم‌سازی است. در این بررسی، تأثیر پارامترهای اصلی مؤثر بر میزان کارامدی حذف COD از فاضلاب چرم‌سازی ارزیابی شد، شامل تأثیر pH، نسبت آهن به پراکسید هیدروژن، نسبت پراکسید هیدروژن به COD اولیه، میزان جریان الکتریکی، مدت زمان ماند و تأثیر حضور یون کلر به عنوان عامل

از به کارگیری همزن مغناطیسی به علت تأثیر منفی آن بر یون آهن صرف نظر شد (بدلیانس و نیلی، ۱۳۹۴؛ بدلیانس و همکاران، ۱۳۹۳).

همچنین، از مواد مصرفی شامل سولفات آهن و پراکسید هیدروژن (معرفه‌ای فنتون) و اسید سولفوریک غلیظ و سود (در تنظیم pH) شرکت Merk آلمان و کاغذ صافی واتمن (شماره ۴۲) استفاده شد. از دستگاه Photometer 8000، Palintest برای سنجش یون کلر و COD استفاده شد.

موازی داخل سلول الکتریکی تعییه شد. آرایش تکقطبی موازی به علت مصرف کم انرژی، یکسان‌بودن اختلاف پتانسیل در الکترودها، کاهش سطح قربانی‌شونده الکترودها، کاهش لجن مازاد و کم شدن هزینه نگهداری انتخاب شد (Nidheesh et al., 2012; Kobya et al., 2007). ارتباط این الکترودها با دستگاه همسوکننده با سیم‌های رابط صورت گرفت. برای تنظیم آمپر از سامانه Mps, DC-3003D, 0-3 A, 0-30 (V)، همچنین از موتور الکتریکی (Zheng, zs-ri, 6(V) DC, 366 rpm) برای ایجاد اختلاط در راکتور استفاده شد.



شکل ۱. طرحواره و تصویر راکتور آزمایشگاهی فردفتون

آهن را اضافه کردیم و به مدت ۱ دقیقه با شدت نمونه را هم زدیم. پس از آن، پراکسید هیدروژن به سامانه تزریق شد. الکترودها پس از اتصال به منبع تغذیه درون راکتور قرار گرفت. بعد از آن آمپر و ولتاژ نیز تنظیم شد. پس از انجام فرایند فردفتون و طی زمان ماند هر آزمایش با استفاده از سود و اسید سولفوریک pH نمونه به حد ختی رسید و به مدت ۳۰ دقیقه به حال خود رها شد تا عملیات ترسیب شیمیایی ناشی از لخته شدن آهن در pH ختی صورت پذیرد. تمامی آزمایش‌ها مطابق روش استاندارد متدهای APHA, 2005) صورت گرفت و برای کنترل خطای هر آزمایش سه بار تکرار شد.

علت استفاده از الکترود گرافیت، عدم شرکت این الکترودها در واکنش‌های شیمیایی سامانه است که این امر موجب برقرار ماندن نسبت بهینه آهن به پراکسید هیدروژن می‌شود. از سایر مزایای استفاده از الکترود گرافیت می‌توان به سهولت دسترسی، هزینه بهره‌برداری نسبتاً کم، عدم امکان ایجاد آلودگی در محیط واکنش، خوردگی نسبتاً کم در مقایسه با الکترودهای آهن و فولاد ضدزنگ، همچنین داشتن سازگاری با محیط‌زیست اشاره کرد (بدلیانس و نیلی، ۱۳۹۴).

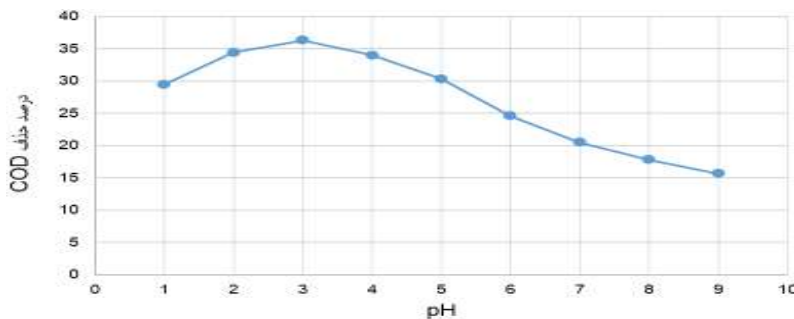
نخست، pH نمونه فاضلاب چرم‌سازی را با استفاده از اسید سولفوریک و سود تنظیم کردیم. سپس، سولفات

پتانسیل اکسایش رادیکال‌های هیدروکسیل کاوش می‌باید و از میزان اولیه $E_0 = 2.8$ V به میزان $E_{14} = 1.96$ V می‌رسد (Kim & Vogelpohl, 1998). نتایج حاصل از بررسی تأثیر pH بر فرایند فردفتون در شکل ۲ نشان داده شده است. در این مرحله از آزمایش، غلظت اولیه COD بین ۹۰۰-۱۵۰۰ میلی گرم بر لیتر، نسبت $[Fe^{2+}]/[H_2O_2] = 0/5$ ، غلظت پراکسید هیدروژن ۱۱۳۰ میلی گرم بر لیتر، میزان جریان معادل با آمپراژ $0/7$ آمپر، مدت زمان ۹۰ دقیقه در pHهای ۱ الی ۹ جهت تأثیر عامل pH در کارامدی فرایند فردفتون در نظر گرفته شد.

٣. نتائج

۱.۳. pH بھینے تعیین

یکی از مهم‌ترین عوامل تأثیرگذار در فرایند فردفتون pH است. فعالیت کاتالیستی گونه‌های آهن به صورت اساسی با pH محلول تعیین می‌شود (Gallard et al., 1999). تنظیم pH در رسوب آهن، تجزیه پراکسید هیدروژن و تشکیل ترکیبات پیچیده و پایدار آهن و به طور کلی در کارامدی سامانه نقش کلیدی دارد، به طوری که pH اسیدی کارامدی فرایند فردفتون را به طور چشمگیری افزایش می‌دهد (Ye et al., 2016; Wu et al., 2014; Zhang et al., 2012; pH). با افزایش (Brillas et al., 2009; Lee et al., 2008



شکل ۲. بررسی تأثیر عامل pH بر کارامدی فرایند فردفتون

(۵) $\text{[Fe}^{2+}\text{]}/[\text{H}_2\text{O}_2] = ۰.۹$ ، غلظت پراکسید هیدروژن ۱۱۳۰ میلی گرم بر لیتر، جریان $۷/۰$ آمپر، مدت زمان ۹۰ دقیقه)

می دهد که در نتیجه آن کاتالیزور آهن خشی و منجر به کاهش چشمگیر بازدهی اکسایش می شود (Wu et al., 2014). علاوه بر این، ثابت ماندن هیدروژن پراکسید به صورت یون اگرaniوم $H_3O_2^+$ به عدم مشارکت آن در واکنش (۱) و کاهش تولید رادیکال هیدروکسیل می انجامد که در نهایت منجر به کاهش کارآمدی حذف COD در pH پایین می شود (Zhou et al., 2007). طبق شکل ۲ در pH بالای ۴ کاهش کارآمدی سامانه مشاهده می شود که این امر ناشی از تجزیه هیدروژن پراکسید طبق واکنش (۳) است .(Zhang et al., 2012)



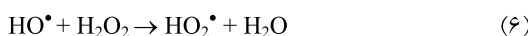
علاوه بر این، در مقدار pH بالای ۵ گونه‌های آهن

همان طور که در شکل ۲ قابل مشاهده است، بیشترین میزان حذف COD در محدوده pH بین ۲/۵ تا ۳/۵ و در pH برابر با ۳۶ حدود است. طبق مطالعات Brillas et al., 2009؛ بین ۴-۲ بیشتر تولید می‌شود (Sedlak & Andren, 1991). تولید بیشتر این رادیکال‌ها ناشی از تولید دوباره هیدروژن پراکسید و افزایش نرخ واکنش (۱) به علت به حداقل رسیدن غلظت یون آهن Fe^{2+} در محدوده pH ذکرشده است (Brillas et al., 2009). همچنین، طبق شکل ۲، کارآمدی سامانه در pH کمتر از ۲ کاهش می‌یابد. گونه‌های آهن در مقادیر پایین با هیدروژن پراکسید تشکیل کمپلکس‌های پایدار

Zhang et al., 2012) که به تفضیل در بخش آثار یون کلر در خصوص آن توضیح داده شده است. بنابراین، pH سامانه pH به شدت کاهش می‌یابد و در صورت عدم پایش مستمر pH و ثابت نگهداشتن pH بهینه در طول فرایند، کارامدی فرایند فردفتون در حذف COD از فاضلاب سورچرم‌سازی کاهش می‌یابد.

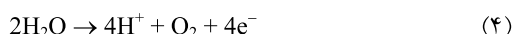
۲.۳. تأثیر نسبت $[Fe^{2+}]/[H_2O_2]$

در فرایندهای فنتون نسبت جرمی آهن به هیدروژن پراکسید به لحاظ تأثیر در هزینه نهایی و کارامدی حذف اهمیت بسیار است (Badalians et al., 2014). کمبود هر یک از این دو واکنشگر در فرایند فنتون باعث عدم تولید رادیکال هیدروکسیل به میزان کافی و حضور بیش از حد آن منجر به واکنش‌های رادیکال‌خواری (۵) و (۶) می‌شود که در هر دو حالت کاهش بازدهی سامانه را به همراه دارد (Wu et al., 2014; Zhou et al., 2007; Lopez et al., 2004).

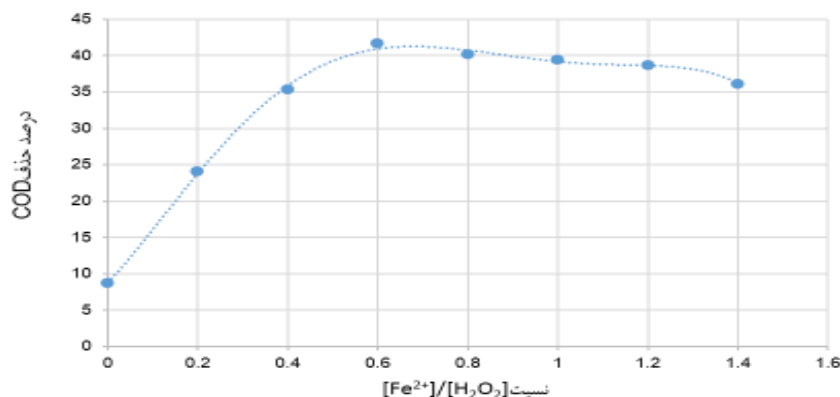


(III) شروع به رسوب‌کردن به فرم $Fe(OH)_3$ می‌کند، که منجر به کاهش میزان کاتالیست آهن موجود در محلول می‌شود. همچنین، در مقادیر pH بالای ۵، هیدروژن پراکسید بسیار سریع‌تر طبق واکنش (۳) به آب و اکسیژن تجزیه می‌شود (Brillas et al., 2009; Rivas et al., 2003). مطابق شکل ۲، در pH برابر با ۸ فقط حدود ۱۸ درصد حذف داریم. کاهش چشمگیر کارامدی حذف COD در مقادیر pH بیش از ۷ ناشی از افزایش سرعت ناپایدار شدن هیدروژن پراکسید و توقف فرایند فنتون است (Ye et al., 2016; Wang & Lemley, 2001).

طی فرایند فنتون پایش مستمر pH برای ثابت نگهداشتن pH بهینه در طول کل فرایند، نقش کلیدی دارد. طبق مطالعات Lee و همکاران (2008)، با افزودن Fe^{2+} و H_2O_2 به سامانه pH محلول به میزان ۰/۵ تا ۱ کاهش می‌یابد. به صورت عمومی واکنش (۴)، همچنین تولید کربوکسیلیک اسیدهای ایجادشده در محیط واکنش، افت pH محلول را سبب می‌شود (Wu et al., 2014; Zhang et al., 2012).



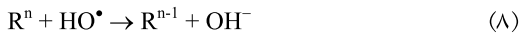
اما، در مطالعه حاضر، افزون‌بر دو عامل ذکر شده، به علت حضور بالای یون کلر در فاضلاب سورچرم‌سازی



شکل ۳. بررسی تأثیر نسبت $[Fe^{2+}]/[H_2O_2]$ بر کارامدی فرایند فردفتون
pH=3، غلظت پراکسید هیدروژن ۱۱۳۰ میلی‌گرم بر لیتر، جریان ۰/۷ آمپر، مدت زمان ۹۰ دقیقه)

۳.۳. تأثیر نسبت $[H_2O_2]/[COD]$

بهینه کردن میزان هیدروژن پراکسید مصرفی در واکنش فردفتون از این جهت اهمیت بسیار دارد که مهم ترین عامل در تعیین هزینه و کارایی فرایند حذف به شمار می آید (Atmaca, 2009; Deng & Englehardt, 2007). اگرچه افزایش میزان هیدروژن پراکسید کارایی سامانه را بالا می برد، مقداری بیش از حد H_2O_2 باعث شکل گرفتن واکنش های جانبی نامطلوب می شود (Babuponusami & Muthukumar, 2012; Bianco et al., 2011). رادیکال های هیدروکسیل تولید شده از واکنش Fe^{2+} و H_2O_2 طی واکنش (۱)، به علت ماهیت غیرگزینی، نه تنها ترکیبات آلی را طبق معادله (۸) اکسید می کند، بلکه در سایر واکنش های (۵)، (۶)، (۹) و (۱۰) نیز شرکت می کند که به واکنش های Nidheesh & Gandhimathi, 2012; Zhang et al., 2012; Brillas et al., 2009). نتیجه این واکنش ها کاهش غلظت رادیکال های هیدروکسیل در محیط است.



به عبارت دیگر، تمامی غلظت رادیکال هیدروکسیل تولید شده از فرایند فردفتون صرف اکسایش ترکیبات آلی موجود نمی شود و بخشی از آن صرف واکنش با پراکسید هیدروژن، رادیکال هیدروپراکسیل (HO_2^\bullet)، سولفات و یون های موجود در محیط از قبیل آهن دو ظرفیتی می شود (Nidheesh & Gandhimathi, 2012; Zhang et al., 2012; Brillas et al., 2009). گونه های رادیکالی جدید تولید شده از واکنش های جانبی رادیکال خواری قدرت اکسید کنندگی کمتری نسبت به رادیکال هیدروکسیل دارد، در نتیجه باعث کاهش کارآمدی حذف می شود (Grebel et al., 2010; Brillas et al., 2009; Lee et al., 2008; Liao et al., 2001).

COD شاخص معین اکسیژن خواهی برای اکسید شدن مواد آلی موجود در نمونه فاضلاب مورد بررسی تحت

همان گونه که در شکل ۳ مشاهده می شود در صورت نبود یون Fe^{2+} در محیط، کارآمدی سامانه حدود ۹ درصد است. این میزان پایین حذف ناشی از نبود یون آهن به عنوان کاتالیزگر و در نتیجه کاهش نرخ واکنش (۱) و مولد رادیکال هیدروکسیل است. همچنین، طی فرایند الکتروشیمیایی به تهایی، طبق واکنش (۷)، میزان کمی از رادیکال های هیدروکسیل از هیدرولیز آب در سطح آند Butler et al., 2011; Martinez-Huitle & Brillas, 2009; Moreno-Casillas et al., 2007



با وجود اینکه رادیکال های فعال تولید شده در فرایند اکسایش مواد آلی شرکت می کند، هیدرولیز آب ناشی از واکنش (۷) قابلیت تولید میزان مناسب از رادیکال های هیدروکسیل را ندارد تا بتواند میزان بیشتری از COD را حذف کند (Martinez-Huitle & Brillas, 2009).

با افزایش نسبت $[Fe^{2+}]/[H_2O_2]$ از صفر به ۰/۲ کارآمدی حذف COD به ۲۳ درصد فزونی می یابد. در نهایت، حداکثر کارآمدی سامانه در حدود ۴۲ درصد در نسبت $[Fe^{2+}]/[H_2O_2]$ برابر با ۰/۶ حاصل می شود. این امر به علت افزایش یون Fe^{2+} به منزله کاتالیزور است و مطابق با واکنش (۱) با هیدروژن پراکسید واکنش می دهد و رادیکال های هیدروکسیل تولید می کند که سبب اکسایش Babuponusami & Muthukumar, 2012). قابل ذکر است که کارآمدی سامانه در صورت افزایش این نسبت تا ۰/۸ تغییر محسوسی نشان نمی دهد (کارآمدی تقریباً ثابت)، اما میزان بیش از حد یون آهن در سامانه منجر به تولید بیشتر لجن آهن می شود. همچنین، افزایش بیش از حد غلظت یون Fe^{2+} بر اساس واکنش (۵) سبب مصرف رادیکال هیدروکسیل می شود که کاهش کارآمدی سامانه را به دنبال خواهد داشت (Zhang et al., 2012; Atmaca, 2009; Brillas et al., 2009; Lopez et al., 2004). بنابراین نسبت $[Fe^{2+}]/[H_2O_2]$ معادل با ۰/۶ نسبت بهینه در نظر گرفته می شود.

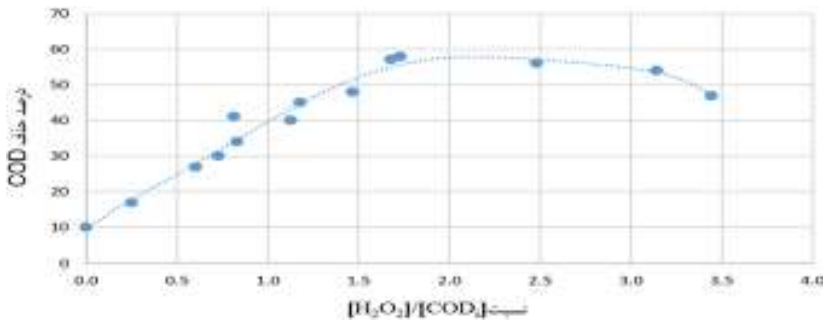
هیدروکسیل برای اکسید کردن مواد آلی نیاز داریم و بر عکس، بنابراین، با تنظیم نسبت i , $[H_2O_2]/[COD_i]$ با توجه به اینکه نسبت $[H_2O_2]/[Fe^{2+}]$ ثابت است، با افزایش میزان H_2O_2 میزان غلظت Fe^{2+} افزایش می‌یابد که به تولید بیشتر رادیکال هیدروکسیل و در نتیجه اکسایش بیشتر مواد آلی Kang & Hwang, 2000; Rivas et al., 2003; Ugur et al., 2007 می‌انجامد و بر عکس (.

با درنظر گرفتن این موضوع که نمونه مورد آزمایش در تحقیق حاضر، نمونه واقعی از فاضلاب چرم‌سازی است، تمامی نمونه‌های آزمایش مربوط به این بخش COD اولیه یکسانی ندارد و در بازه‌ای ۹۰۰ تا ۱۵۰۰ میلی‌گرم بر لیتر در نوسان است. بنابراین، مطابق با جدول ۲، با افزودن مقداری ۰ تا ۳۳۹۰ میلی‌گرم بر لیتر H_2O_2 به نمونه‌های مختلف با COD اولیه متفاوت نمودار نشان داده شده در شکل ۴ نسبت بهینه i , $[H_2O_2]/[COD_i]$ تعیین شد.

شرایط کنترل شده تعريف می‌شود (APHA, AWWA, 2005). بنابراین، برای کارامد ساختن فرایند حذف، دوز بهینه واکنش‌گرهای فنتون که Fe^{2+} و H_2O_2 است باید بر اساس COD اولیه تعیین شود (Zhang et al., 2006). اگرچه در فرایند فنتون هیدروژن پراکسید منبع اصلی تولید رادیکال است، نباید میزان Fe^{2+} و H_2O_2 به تنهایی در نظر گرفته شود، بلکه نسبت $[Fe^{2+}]/[H_2O_2]$ مهم است. از این جهت که واکنش (۱) واکنش اصلی در تولید رادیکال H_2O_2 است تا زمانی ادامه خواهد داشت که کافی برای واکنش با Fe^{2+} در محیط وجود داشته باشد (Zhang et al., 2012). از طرف دیگر، پس از انجام آزمایش‌های صورت پذیرفته مشخص شد میزان H_2O_2 مورد نیاز واکنش بهشت به COD اولیه بستگی دارد، زیرا با افزایش COD اولیه میزان مواد آلی موجود در سامانه بیشتر می‌شود، در نتیجه طبق واکنش (۸) به میزان بیشتری رادیکال

جدول ۲. مقدار H_2O_2 بر حسب میلی‌گرم بر لیتر و نسبت i و درصد حذف COD

شماره نمونه	COD _i (mg/L)	H ₂ O ₂ (mg/L)	[H ₂ O ₂]/COD _i	COD removal (%)
۱	۱۰۵۰	۰	۰/۰۰	۱۰
۲	۹۰۰	۲۲۶	۰/۲۵	۱۷
۳	۱۴۹۵	۹۰۴	۰/۶۲	۲۷
۴	۱۲۳۶	۹۰۴	۰/۷۳	۳۰
۵	۹۷۲	۷۹۱	۰/۸۱	۴۱
۶	۱۵۰۸	۱۲۵۰	۰/۸۲	۳۴
۷	۹۹۶	۱۱۳۰	۱/۱۳	۴۰
۸	۹۶۰	۱۱۳۰	۱/۱۷	۴۵
۹	۹۲۵	۱۳۵۶	۱/۴۴	۴۸
۱۰	۹۴۰	۱۵۸۲	۱/۶۸	۵۷
۱۱	۱۳۰۶	۲۲۶۰	۱/۷۳	۵۸
۱۲	۹۱۰	۲۲۶۰	۲/۴۸	۵۶
۱۳	۱۰۷۸	۳۳۹۰	۳/۱۴	۵۴
۱۴	۹۸۵	۳۳۹۰	۳/۴۴	۴۷



شکل ۴. بررسی تأثیر نسبت $[H_2O_2]/[COD_i]$ بر کارآمدی فرایند فردفتون

($[Fe^{2+}]/[H_2O_2] = 0.6$, pH=۳)

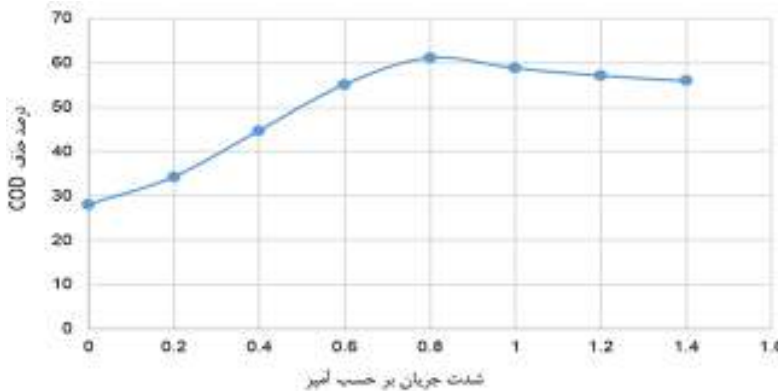
شدت جریان معادل ۰/۸ آمپر در نتیجه افزایش شدت جریان و در نتیجه تولید رادیکال هیدروکسیل بیشتر، بیشترین درصد حذف COD برابر با ۶۱ اتفاق می‌افتد. پس از آن، با افزایش جریان، کارآمدی سامانه تا میزان ۱ آمپر تقریباً ثابت می‌ماند. بنابراین، آمپراژ ۰/۸ آمپر جریان بهینه انتخاب می‌شود. شدت جریان بیشتر دارای تأثیر بازدارندگی در واکنش ۲ است که در مجموع منجر به کاهش بازده فرایند می‌شود (Brillas et al., 2009). طبق شکل ۵، با اعمال شدت جریان بیش از ۱ آمپر کارآمدی سامانه کاهش می‌یابد که علت آن انجام واکنش جانی ۱۱، همچنین تجزیه هیدروژن پراکسید طبق واکنش (۳) به آب Deng & Englehardt, 2007; Atmaca, (2009).

و اکسیژن است (Wang & Lemley, 2010).

۴.۳. تأثیر شدت جریان

افزایش شدت جریان سبب افزایش تبدیل آهن Fe^{3+} به آهن Fe^{2+} می‌شود که در نتیجه، تأثیرگذاری فرایند فرتوں افزایش می‌یابد و واکنش (۲) به وجود می‌پیوندد (Zhang et al., 2012; Badalians et al., 2014) هنگامی که جریانی در سامانه آزمایشی برقرار نیست، در عمل فقط فرایند فرمون موجود و کارآمدی سامانه تنها ۲۸ درصد است. پس از برقراری جریان برق در سامانه، کارآمدی آن به صورت قابل ملاحظه‌ای افزایش می‌یابد که علت آن احیای آهن سه‌ظرفیتی به دو ظرفیتی است (Nidheesh & Gandhimathi, 2012). طبق شکل ۵ در





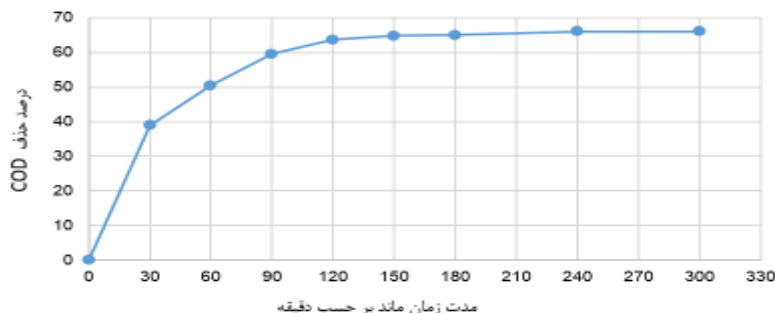
شکل ۵. بررسی تأثیر شدت جریان بر کارامدی فرایند فردفتون

($\text{Fe}^{2+}/[\text{H}_2\text{O}_2] = 0/6$, pH = ۳)، غلظت پراکسیدهیدروژن ۲۲۶۰ میلی گرم بر لیتر، مدت زمان ماند ۹۰ دقیقه)

۶۵ درصد رسید و بعد از پنج ساعت به ۶۶ درصد افزایش یافت. باید توجه داشت که با افزایش مدت زمان ماند، مواد آلی موجود در فاضلاب سامانه شناس بیشتری برای انجام واکنش‌های اکسایش با اکسیدکننده‌های فعالی همچون رادیکال‌های هیدروکسیل خواهد داشت، اما مدت زمان ماند از دیدگاه انرژی نیز اهمیت دارد (Bianco et al., 2009; Atmaca, 2009). همچنین، با گذشت زمان غلاظت رادیکال هیدروکسیل به دلیل کاهش میزان پراکسید هیدروژن کاهش می‌یابد، بنابراین برای ایجاد تعادل بین میزان حذف COD، ظرفیت تصفیه سامانه و مصرف انرژی مدت زمان ۱۲۰ دقیقه مدت زمان بهینه انجام واکنش تعیین می‌شود.

۵.۳. مدت زمان ماند

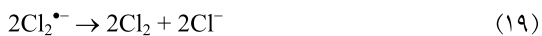
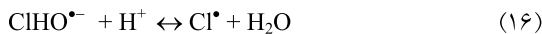
مدت زمان ماند بهمنزله یکی از پارامترهای مهم بهره‌برداری است. در سامانهٔ ترکیبی فنتون و الکتروشیمیایی مدت زمان تا حد زیادی کاهش می‌یابد. مدت زمان ماند کم سامانه از سویی سبب تسهیل بهره‌برداری، و از سویی دیگر کاهش قابل توجه حجم راکتور یا به عبارتی ظرفیت تصفیه می‌شود (Zhang et al., 2012; Badalians et al., 2014). همان‌گونه که در شکل ۶ مشاهده می‌شود، در دو ساعت اولیه آزمایش بیشترین کارامدی حذف حاصل می‌شود که حدود ۶۴ درصد است. علت آن نیز غلظت زیاد مواد آلی تجزیه‌پذیر در سامانه آزمایشی است (Le & Shoda, 2008; Zhang et al., 2013; Wei et al., 2014). کارامدی سامانه آزمایشی یک ساعت پس از آن به



شکل ۶. بررسی تأثیر مدت زمان ماند بر کارامدی فرایند فردفتون

($\text{Fe}^{2+}/[\text{H}_2\text{O}_2] = 0/6$, غلظت پراکسید هیدروژن ۲۲۶۰ میلی گرم بر لیتر، جریان ۰/۸ آمپر)

شور یکی از رادیکال‌خوارهای $\bullet\text{HO}$ به شمار می‌رود. به همین دلیل انتظار می‌رود فرایند فتومن در چنین فاضلاب‌هایی متوقف شود. اما مطابق با واکنش‌های (۱۵) تا (۱۹)، هالوژن‌ها در واکنش با رادیکال هیدروکسیل تبدیل به گونه‌های هالوژن بازفعال شده یا RHS می‌شود. این گونه‌های هالوژن بازفعال تولید شده نیز در اکسید مواد آلی شرکت می‌کند، اما بسیار انتخابی‌تر از رادیکال هیدروکسیل عمل می‌کند و با ترکیبات آلاینده آلی غنی از الکترون واکنش می‌دهد (Grebel et al., 2010; Liao et al., 2001; Gallard et al., 1999).



RHS‌ها، نسبت به رادیکال هیدروکسیل، علاوه بر انتخابی عمل کردن، قدرت اکسایش کمتری دارد ($E_{10} = 1.36 \text{ V}$ vs. SHE). در نتیجه، به صورت کلی باعث کاهش نسبی در عملکرد فتومن می‌شود (Grebel et al., 2010; Liao et al., 2001; Gallard et al., 1999).

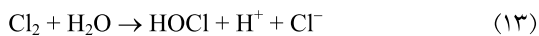
از طرف دیگر، در فاضلاب‌های شور به دلیل حضور آنیون‌ها و کاتیون‌های مولد شوری، هدایت الکتریکی بالاست که سبب تسریع سرعت واکنش‌های الکتروشیمیایی می‌شود (Zhang et al., 2013; Butler et al., 2011). با وجود این، کاتیون‌های موجود در الکتروولیت در اطراف سطح کاتد جذب می‌شود و در اثر تجمع کاتیون‌ها یون شansas کمتری برای احیاشدن طی واکنش (۲) پیدا می‌کند. خود Fe^{3+} نیز به عنوان کاتیون به سمت کاتد جذب شده روی آن می‌نشیند. در نهایت، این امر سبب کاهش کارایی سامانه می‌شود (شکل ۷) (Zhang et al., 2013; Grebel et al., 2010; Liao et al., 2001).

۶.۳. اثر یون کلر

یون‌های کلر موجود در نمونه فاضلاب شور چرم‌سازی شکارکننده یا رادیکال‌خوار رادیکال‌های هیدروکسیل عمل می‌کند و کارایی حذف COD را کاهش می‌دهد (Liao et al., 2001). به علت میزان بالای یون کلر موجود در نمونه فاضلاب (۳۰۰۰ میلی گرم بر لیتر) اکسایش مستقیم یون کلر در آند کلر محلول تولید می‌کند (واکنش ۱۲) (Martinez & Huitle, 2009; Zhang et al., 2013).



از نشانه‌های آزادشدن کلر در آند، شکفتهدن الکترودهای گرافیت آندی و قربانی شدن به شکل متخلل است. علاوه بر این، بوی نافذ و قابل درک کلر در محیط آزمایش نیز از دیگر نشانه‌های آزادشدن آن در آند است. هنگامی که کلر تولید شده طی فرایند الکتروشیمیایی در آند، در سایر قسمت‌های سامانه پخش می‌شود، به سرعت با مولکول آب ترکیب می‌شود و طبق واکنش (۱۳) تشکیل هیپوکلرو اسید و طبق واکنش (۱۴) تشکیل اسد کلریدریک می‌دهد (Deng & Englehardt, 2007).



هیپوکلرو اسید و کلریدریک اسید تولید شده طبق واکنش‌های (۱۳) و (۱۴) خاصیت گندزاری و ضدغذنی کنندگی دارد که باعث کاهش آثار بوی بد فاضلاب و نایودی کلیفرم‌های روده‌ای می‌شود (WHO, 2000; Christensen, 2003). باید این نکته را در نظر داشت که اگرچه هیپوکلرو اسید تولید شده مواد آلی موجود در نمونه فاضلاب را اکسید می‌کند، قدرت اکسایش آن ($E_0 = 1.49 \text{ V}$ vs. SHE) در مقایسه با قدرت اکسید کنندگی رادیکال هیدروکسیل ($E_0 = 2.80 \text{ V}$ vs. SHE) بسیار کم است، به طوری که این اسید قابلیت بالایی در حذف COD (Zhang et al., 2013; Butler et al., 2011; Martinez-Huitle & Brilllas, 2009; Deng & Englehardt, 2007) نخواهد داشت.

آنیون‌های هالوژن‌ها به خصوص Cl^- در فاضلاب‌های

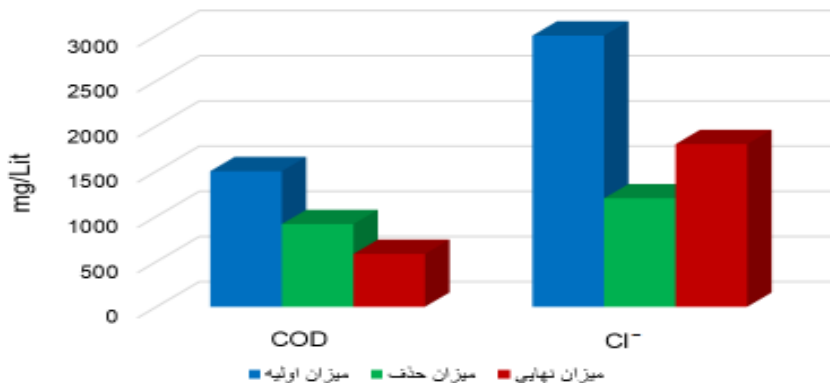


شکل ۷. شکفته شدن آند به دلیل آزاد شدن کلر و نشستن آهن روی کاتد

میلی گرم بر لیتر، جریان ۰/۸ آمپر و مدت زمان ۱۲۰ دقیقه قابلیت حذف ۴۰ درصدی یون کلر را داراست. همچنین، آزاد شدن گاز کلر طی فرایند آندیک تا زمانی که جریان الکتریکی برقرار باشد منجر به کاهش یون کلر و در نتیجه شوری می‌شود. لذا، با توجه به انرژی مصرفی و زمان بهینه حذف COD میزان حذف ۴۰ درصدی کلر حاصل شد. در شکل ۸، کارامدی فرایند فردفتون تحت شرایط بهینه ذکر شده در حذف یون کلر و COD مقایسه شده است.

۷.۳. بررسی حذف یون کلر

با توجه به وجود یون کلر موجود در نمونه فاضلاب مورد تحقیق (جدول ۱)، کارامدی فرایند فردفتون در حذف یون کلر را تحت شرایط بهینه حذف COD بررسی می‌کنیم که در فاضلاب چرمسازی به وفور و با غلظت بسیار بالا یافت Lofrano et al., 2013; Chowdhury et al., 2013; Mandal et al., 2010b می‌شود (). طبق نتایج به دست آمده از آزمایش‌ها، فرایند فردفتون تحت شرایط $pH=3$ ، نسبت $[\text{Fe}^{2+}]/[\text{H}_2\text{O}_2]=0/6$ ، غلظت پراکسید هیدروژن ۲۲۶۰



شکل ۸. مقایسه میزان حذف COD و یون کلر طی فرایند فردفتون

($pH=3$ ، غلظت پراکسید هیدروژن $[\text{Fe}^{2+}]/[\text{H}_2\text{O}_2]=0/6$)

آلی موجود در فاضلاب مورد بررسی است. رادیکال هیدروکسیل عامل اصلی اکسایش در فرایند فنتون است که به صورت غیرانتخابی با تمامی ترکیبات آلی موجود در

همان طور که گفته شد COD شاخص آلینده‌های آلی اکسیدشونده موجود در فاضلاب تعريف می‌شود (APHA, AWWA, WEF, 2005). این تعريف شامل تمامی ترکیبات

یون کلر از فاضلاب شور چرم‌سازی بررسی شد. طبق نتایج حاصل، کارایی حذف COD و یون کلر طی فرایند فردفتون تحت شرایط راهبری بهینه $pH=3$ ، نسبت $0/6$ $[Fe^{2+}]/[H_2O_2]$ = غلظت پراکسید هیدروژن ۲۲۶۰ میلی گرم بر لیتر، جریان $0/8$ آمپر و مدت زمان ۱۲۰ دقیقه، به ترتیب برابر با 61 و 40 درصد است. همچنین، نتایج حاصل حاکی از آن است که حذف COD طی فرایند فردفتون در فاضلاب‌های شور به علت حضور بالای یون کلر به نسبت کمتری کارامد است. علت این امر شکار رادیکال‌های هیدروکسیل و عامل اصلی حذف مواد آلی طی فرایند فردفتون با یون کلر و تولید RHS‌هایی است که نه تنها عوامل اکسیدکننده ضعیف‌تری نسبت به رادیکال‌های هیدروکسیل است، بلکه برخلاف آن، به صورت کاملاً انتخابی عمل می‌کند و تنها ترکیباتی را اکسید می‌کند که خاصیت الکترون‌دهی بالاتری دارد. در مقایسه با مطالعات پیشین، در خصوص حذف COD از فاضلاب‌های صنعتی غیرشور، حضور یون کلر علاوه بر کاهش کارامدی سامانه در حذف COD، نسبت بهینه $[COD]/[H_2O_2]$ به علت نیاز به تولید رادیکال‌های هیدروکسیل در خشی‌سازی عملکرد بیشتر رادیکال‌های هیدروکسیل در خشی‌سازی در حذف COD، بررسی نتایج حذف 40 درصد یون کلر از فاضلاب شور چرم‌سازی، که در فرایندهای الکتروشیمیایی در آن صورت می‌گیرد، پیش‌بینی می‌شود که با افزایش مدت زمان ماند و پتانسیل الکتریکی، حذف یون کلر نیز افزایش یابد.

یادداشت‌ها

1. Chemical Oxygen Demand (COD)
2. Advanced Oxidation Process (AOP)
3. Electro-Fenton Process (EFP) or (EAOP)
4. Reactive Halogen Species (RHS)

فاضلاب وارد واکنش اکسایش می‌شود (بدیلیانس و همکاران، ۱۳۹۳). این در حالی است که RHS‌های تولیدشده و ناشی از حضور یون کلر به صورت انتخابی ترکیبات آلی دارای خاصیت الکترون‌دهی بیشتر را اکسید می‌کند (Grebel et al., 2010)، بنابراین پیش‌بینی می‌شود که حضور ترکیبات کم الکترون‌دهی دوست، همچون فرمالدهید و Azo-dye‌ها که به صورت مرسم در فاضلاب & Gavin, 2014; Grebel et al., (LoPachin 2010; Mwinyihija, 2010) باعث می‌شود که RHS‌ها که تمایل زیادی برای واکنش با ترکیبات غنی از الکترون دارد با آن واکنش ندهد و به طور مجموع کارایی سامانه در حذف COD را کاهش دهد. بنابراین، میزان حذف COD برابر با 61 درصد در فاضلاب شور توجیه‌پذیر است که در مقایسه با فاضلاب‌های غیرشور پایین‌تر است. طبق مطالعات Lee و Shoda (2008)، میزان حذف COD از فاضلاب غیرشور دامداری طی فرایند فردفتون با COD اولیه $5700-5000$ میلی گرم بر لیتر و با نسبت $[H_2O_2]/[COD]$ برابر با $1/0.5$ معادل 88 درصد است. این در حالی است که طبق مطالعات Zhang و همکاران (2012) میزان حذف COD از شیرابه محل دفن با غلظت بالای یون کلر طی فرایند الکتروفوتون با COD اولیه 2720 میلی گرم بر لیتر و با نسبت $[H_2O_2]/[COD]$ برابر با $2/12$ معادل 62 درصد است که منطبق با نتایج مطالعه حاضر است. لازم به ذکر است که در عین حال که یون کلر آثار ذکر شده را بر کارامدی سامانه گذاشته است، به طور هم‌زمان در حال حذف شدن از سامانه و کاهش میزان شوری است.

۴. بحث و نتیجه‌گیری

در این تحقیق کارآمدی سامانه فردفتون در حذف COD و

منابع

بدلیانس قلی کندی، گ.، نیلی اردکانی، م. ۱۳۹۴. ارتقای عملکردی سامانه ترکیبی فنتون و الکتروشیمیایی (فردفتون) برای تثیت بهینه لجن مازاد بیولوژیکی و مصرف بهینه انرژی، محیط‌شناسی، سال ۴۱، شماره ۳ ص ۶۹۵-۷۰۹.

بدلیانس قلی کندی، گ.، مسیحی، ح.ر. و میراچی، م. ۱۳۹۳. استفاده همزمان فرایندهای فنتون و الکتروشیمیایی برای کاهش بار آلی لجن مازاد بیولوژیکی، محیط‌شناسی، سال ۴۰، شماره ۱ ص ۱۷۷-۱۸۸.

APHA, AWWA, WEF. 2005. Standard Methods for the Examination of Water and Wastewater. 21st Edition. American Public Health Association, American Water Works Association, Water Pollution Control Federation. Washington, DC, USA.

Atmaca, E. 2009. Treatment of landfill leachate by using electro-Fenton method. Journal of Hazardous Materials. Vol. 163, pp. 109-114.

Babuponnusami A., Muthukumar K. 2012. Advanced oxidation of phenol: a comparison between Fenton, electro-Fenton, sono-electro-Fenton photo-electro-Fenton processes. Journal of Hazard Materials. Vol. 183, pp. 1-9.

Badaliyan Gholikandi G., Masihi H.R., Azimipour M., Abrishami, A., Mirabi, M. 2014. Optimizing stabilization of waste-activated sludge using Fered-Fenton process and artificial neural network modeling (KSOFM, MLP). Journal of Environmental Science and Pollution Research. Vol. 21, pp. 7177-7186.

Bianco, B., De Michelis, I., Vegliò, F. 2011. Fenton treatment of complex industrial wastewater: Optimization of process conditions by surface response method. Journal of Hazardous Materials. Vol. 186, No 2, pp. 1733-38.

Brillas, E., Sires, L., Oturan, MA. 2009. Electro-Fenton process and related electrochemical technologies based on Fenton's reaction chemistry. Journal of Chemical Reviews. Vol. 109, No. 12, pp. 6570-6631.

Butler, E., Hung, Y.T., Yu-Li Yeh, R., Al Ahmad, M.S. 2011. Review of Electrocoagulation in Wastewater Treatment. Journal of Water. Vol. 3, pp. 495-525.

Chen, Y., Gu, G. 2005. Preliminary studies on continuous chromium(VI) biological removal from wastewater by anaerobic-aerobic activated sludge process. Journal of Bioresource Technology. Vol. 96, No. 15, pp. 1713-1721.

Christensen, E.W. 2003. The Definitive Solution to Disinfection in Facility Water Distribution Systems & Equipment. Journal of Infection and Immunity. Vol. 71, No. 2, pp.621-638.

Chowdhury, M., Mostafa, M.G., Tapan, K.B., Ananda, K.S. 2013. Treatment of leather industrial effluents by filtration and coagulation processes. Journal of Water Resources and Industry. Vol. 3, pp.11-12.

Deng, Y., Englehardt, J.D. 2007. Electrochemical oxidation for landfill leachate treatment. Journal of Waste Management. Vol. 27, pp. 380-388.

Fahim, N.F., Barsoum, B.N., Eid, A.E., Kalil, M.S. 2012. Removal of chromium (III) from tannery wastewater using activated carbon from sugar industrial waste. Journal of Hazardous Materials. Vol. 136, No. 2, pp. 303-309.

Golder A., Samanta A., Ray S. 2007. Removal of trivalent chromium by electro coagulation. Journal of Separation and Purification Technology. Vol. 53, No. 1, pp. 3-41.

Gallard, H., De Laat, J., Legube, B. 1999. Spectrophotometric study of the formation of Iron (III)-Hydroperoxy complexes in homogenous aqueous solutions. Journal of Water research. Vol. 33, No. 13, pp. 2929-2936.

Grebel, J., Pignatello, J., Mitch, W. 2010. Effect of halide ions and carbonates on organic contaminant degradation by hydroxyl radical-based advanced oxidation processes in saline waters. Journal of Environmental Science Technology. Vol. 44, pp. 6822-6828.

Jinwook, C., Junbeum, K., Youngnoph, K., Yongwoo, H. 2013. Assessment and selection of best available technology (BAT) for wastewater facilities in the leather tanning and finishing industry. Journal of Resources, Conservation and Recycling. Vol. 70, pp. 32-37.

Kang, Y.W., Hwang, K.Y. 2000. Effects of reaction conditions on the oxidation efficiency in the Fenton process. Journal of Water Research. Vol. 34, pp. 2786-2790.

Kobra, M., Bayramoglu, M., Eyvaz, M. 2007. Techno-economical evaluation of electrocoagulation for the textile wastewater using different electrode connections. Journal of Hazardous Materials. Vol. 148, No. 1, pp. 311-8.

- Kim, S., Vogelpohl, A. 1998. Degradation of organic pollutants by the photo-Fenton process. *Journal of Chemical Engineering Technology*. Vol. 21, pp. 187-191.
- Lee, H., Shoda, M. 2008. Removal of COD and color from livestock wastewater by the Fenton method. *Journal of Hazardous Materials*. Vol. 153, pp.1314-1319.
- Lefebvre, O., Moletta, R. 2006. Treatment of organic pollution in industrial saline wastewater: A literature review. *Journal of Water Research*. Vol. 40, pp. 3671-3682.
- Liao, C.H., Kang, S.F., Wu, F.A. 2001. Hydroxyl radical scavenging role of chloride and bicarbonate ions in the H₂O₂/UV process. *Journal of Chemosphere*. Vol. 44, pp. 1193-1200.
- Lofrano, G., Sureyya, M., Gülsüm, E.Z., Derin, O. 2013. Review of Chemical and biological treatment technologies for leather tannery chemicals and wastewaters. *Journal of Science of the Total Environment*. Vol. 461, No. 462, pp. 265-281.
- LoPachin, R.M., Gavin, T. 2014. Molecular Mechanisms of Aldehyde Toxicity: A Chemical Perspective. *Journal of Chemical Research in Toxicology*. Vol. 27, No. 7, pp. 1081-1091.
- Lopez, A., Pagano, M., Volpe, A., Di Pinto, A. 2004. Fenton's pretreatment of mature landfill leachate. *Journal of Chemosphere*. Vol. 54, pp. 1000-1005.
- Mandal, T., Dasgupta, D., Mandal, S., Datta, S. 2010a. Treatment of leather industry wastewater by aerobic biological and Fenton oxidation process. *Journal of Hazardous Materials*. Vol. 180, No. 1-3, pp. 204-211.
- Mandal, T., Maity, S., Dasgupta, D., Datta, S. 2010b. Advanced oxidation process and bio treatment: Their roles in combined industrial wastewater treatment. *Journal of Desalination*. Vol. 250, No. 1, pp. 87-94.
- Martinez-Huitle, C.A., Brillas, E. 2009. Decontamination of wastewaters containing synthetic organic dyes by electrochemical methods: a general review, *Appl. Catal. B: Environ.* Vol. 87, pp. 105-145.
- Mwinyihija, M. 2010. Eco toxicological Diagnosis in the Tanning Industry. Chapter 2: Main Pollutants and Environmental Impacts of the Tanning Industry. Springer New York Dordrecht Heidelberg London.
- Moreno-Casillas, H., Cocke, D., Gomes, J., Parga, P., Peterson, E. 2007. Electrocoagulation mechanism for COD removal. *Separation and Purification Technology*. Vol. 56, pp. 204-211.
- Moussavi, G., Barikbin, B., Mahmoudi, M. 2010. The removal of high concentrations of phenol from saline wastewater using aerobic granular SBR. *Journal of Chemical Engineering*. Vol. 158, No. 3, pp. 498-504.
- Nidheesh, P.V., Gandhimathi, R. 2012. Trends in electro-Fenton process for water and wastewater treatment: An overview. *Journal of Desalination*. Vol. 299, pp. 1-15.
- Rivas, F.J., Beltrán, F.J., Gimeno, O., Carvalho, F. 2003. Fenton-like oxidation of landfill leachate. *Journal of Environmental Science and Health, Part A: Toxic/Hazardous Substances and Environmental Engineering*. Vol. 38, pp. 371-379.
- Samarghandi, M. (2008). The removal efficiencies of Phenol, Pb, Cd and Cr by means of four treatment methods including chemical, photochemical, electrochemical and combined method. Tehran University of Medical Sciences.
- Sedlak, D.L., Andren, A.W. 1991. Oxidation of chlorobenzene with Fenton's reagent. *Journal of Environmental Science and Technolgy*. Vol. 25, pp. 777-782.
- Ugur, K., Apaydin, O., Talha Gonullu, M. 2007. Reduction on COD wastewater from an organized tannery industrial region by Electro-Fenton process. *Journal of Hazardous Materials*. Vol. 143, pp. 33-40.
- Wang, Q., Lemley, A.T. 2001. Kinetic model and optimization of 2, 4-D degradation by anodic Fenton treatment. *Journal of Environmental Science and Technolgy*. Vol. 35, pp. 4509-4514.
- Wei, J., Song, Y., Meng, X., Tu, X., Pic J. 2014. Transformation characteristics of organic pollutants in Fered-Fenton process for dry-spun acrylic fiber wastewater treatment. *Journal of Water Science and Technology*. Vol. 70, No. 12, pp. 1976-1982.
- WHO. 2000. Environmental Health Criteria 216: Disinfectants and Disinfectant By-Products. World Health Organization. Geneva, Switzerland.
- Wu, X., Zhang, H., Li, Y., Zhang, D., Li, X. 2014. Factorial design analysis for COD removal from landfill leachate by photoassisted Fered-Fenton process. *Journal of Environmental Science and Pollution Research*. Vol. 21, pp. 8595-8602.

Ye, Z., Zhang, H., Yang, L., Wu, L., Qian, Y., Geng, J., Chen M. 2016. Effect of a solar Fered-Fenton system using a recirculation reactor on biologically treated landfill leachate. Journal of Hazardous Materials. in Press.

Zhang, W., Yang, X., Wang, D. 2013. Complete Removal of Organic Contaminants from Hypersaline Wastewater by the Integrated Process of Powdered Activated Carbon Adsorption and Thermal Fenton Oxidation. Journal of Industrial & Engineering Chemistry Research. Vol. 52, pp. 5765-5771.

Zhang, H., Ran, X., Wu, X. 2012. Electro-Fenton treatment of mature landfill leachate in a continuous flow reactor. Journal of Hazardous Materials. Vol. 241, No. 242, pp. 259-266.

Zhang, H., Zhang, D., Zhou, J. 2006. Removal of COD from landfill leachate by electro-Fenton method. Journal of Hazardous Materials. Vol. 135, pp. 106-111.

Zhou, M., Yu, Q., Lei, L., Barton, G. 2007. Electro-Fenton method for the removal of methyl red in an efficient electrochemical system. Journal of Separation and Purification Technology. Vol. 573, pp. 380-387.

1.